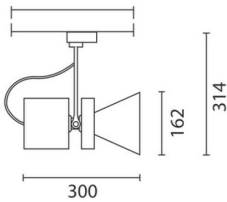


Última actualización de la información: Mayo 2024

Configuraciones productos: P266

P266: Proyector cuerpo grande - warm white - alimentador DALI - óptica flood



Código producto

P266: Proyector cuerpo grande - warm white - alimentador DALI - óptica flood **¡Advertencia! Código fuera de producción**

Descripción

Proyector orientable con adaptador para instalación sobre rail de tensión de red para lámpara LED de alto rendimiento con emisión monocromática en color warm white (3000K). Alimentación DALI. La luminaria está realizada en aluminio fundido y material termoplástico, permite una rotación de 360° alrededor del eje vertical y una inclinación de 90° respecto al plano horizontal. Consta de bloqueos mecánicos del enfoque y escalas graduadas para ambos movimientos que se fijan actuando con una misma herramienta sobre dos tornillos, uno situado en el cuerpo óptico y otro sobre el adaptador de rail. Proyector con anillo porta accesorios que puede contener un accesorio plano. Posibilidad de aplicar otro componente externo a elegir entre apantallamiento asimétrico y aletas orientables. Todos los accesorios externos pueden girar 360° respecto al eje longitudinal del proyector.

Instalación

En rail electrificado

Colores

Blanco (01) | Gris/Negro (74)

Montaje

raíl trifásico

Equipo

Componentes DALI en el interior de la luminaria

Se conforma con EN60598-1 y regulaciones pertinentes



Datos técnicos

| | | | |
|---|-------|--------------------------------------|------|
| Im de sistema: | 3920 | CRI (mínimo): | 80 |
| W de sistema: | 38 | Temperatura de color [K]: | 3000 |
| Im de la fuente: | 5100 | MacAdam Step: | 3 |
| W de la fuente: | 38 | Código de lámpara: | LED |
| Eficiencia luminosa (lm/W, valor del sistema): | 103.2 | Número de lámparas por grupo óptico: | 1 |
| Im en modo emergencia: | - | Código ZVEI: | LED |
| Flujo total de emisión en un ángulo de 90° o superior [Lm]: | - | Número de grupos ópticos: | 1 |
| Light Output Ratio (L.O.R.) [%]: | 77 | Control: | DALI |
| Ángulo de apertura del haz de luz [°]: | 32° | | |

Polar

| Imax=13766 cd | Lux | | | |
|---------------|-----|-----|------|------|
| | h | d | Em | Emax |
| | 2 | 1.1 | 2844 | 3441 |
| | 4 | 2.3 | 711 | 860 |
| | 6 | 3.4 | 316 | 382 |
| | 8 | 4.6 | 178 | 215 |

Isolux

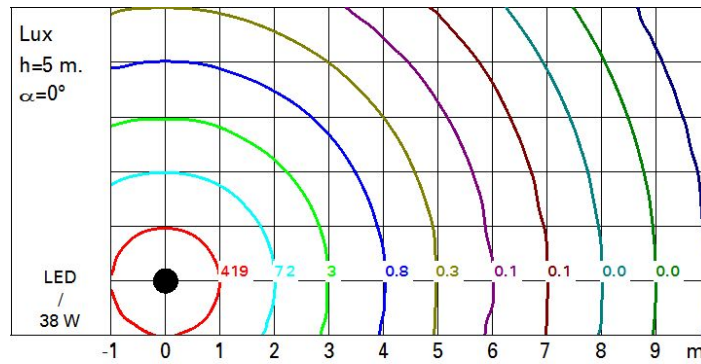


Diagrama UGR

| Corrected UGR values (at 5100 lm bare lamp luminous flux) | | | | | | | | | | | |
|---|------|------------------|------|------|------|------|----------------|------|------|------|------|
| Reflect.: | | 0.70 | 0.70 | 0.50 | 0.50 | 0.30 | 0.70 | 0.70 | 0.50 | 0.50 | 0.30 |
| ceiling/cav | | | | | | | | | | | |
| walls | | | | | | | | | | | |
| work pl. | | | | | | | | | | | |
| Room dim | | viewed crosswise | | | | | viewed endwise | | | | |
| x | y | | | | | | | | | | |
| 2H | 2H | 1.9 | 2.4 | 2.1 | 2.6 | 2.8 | 1.9 | 2.4 | 2.1 | 2.6 | 2.8 |
| | 3H | 1.9 | 2.4 | 2.2 | 2.6 | 2.9 | 1.8 | 2.3 | 2.2 | 2.5 | 2.8 |
| | 4H | 1.9 | 2.3 | 2.3 | 2.6 | 2.9 | 1.8 | 2.2 | 2.1 | 2.5 | 2.8 |
| | 6H | 1.9 | 2.3 | 2.3 | 2.6 | 2.9 | 1.7 | 2.1 | 2.1 | 2.4 | 2.8 |
| | 8H | 1.9 | 2.3 | 2.3 | 2.6 | 2.9 | 1.7 | 2.1 | 2.1 | 2.4 | 2.7 |
| 12H | 1.9 | 2.2 | 2.2 | 2.5 | 2.9 | 1.7 | 2.0 | 2.0 | 2.4 | 2.7 | |
| 4H | 2H | 1.8 | 2.2 | 2.1 | 2.5 | 2.8 | 1.9 | 2.3 | 2.3 | 2.6 | 2.9 |
| | 3H | 1.9 | 2.2 | 2.3 | 2.6 | 2.9 | 1.9 | 2.3 | 2.3 | 2.6 | 3.0 |
| | 4H | 1.9 | 2.2 | 2.3 | 2.6 | 3.0 | 1.9 | 2.2 | 2.3 | 2.6 | 3.0 |
| | 6H | 1.9 | 2.2 | 2.4 | 2.6 | 3.0 | 1.9 | 2.2 | 2.3 | 2.6 | 3.0 |
| | 8H | 1.9 | 2.2 | 2.3 | 2.6 | 3.0 | 1.9 | 2.1 | 2.3 | 2.5 | 3.0 |
| 12H | 1.9 | 2.1 | 2.3 | 2.5 | 3.0 | 1.8 | 2.0 | 2.3 | 2.5 | 2.9 | |
| 8H | 4H | 1.9 | 2.1 | 2.3 | 2.5 | 3.0 | 1.9 | 2.2 | 2.3 | 2.6 | 3.0 |
| | 6H | 1.9 | 2.1 | 2.4 | 2.5 | 3.0 | 1.9 | 2.1 | 2.4 | 2.6 | 3.0 |
| | 8H | 1.9 | 2.1 | 2.4 | 2.5 | 3.0 | 1.9 | 2.1 | 2.4 | 2.5 | 3.0 |
| | 12H | 1.8 | 2.0 | 2.3 | 2.5 | 3.0 | 1.8 | 2.0 | 2.3 | 2.5 | 3.0 |
| 12H | 4H | 1.8 | 2.0 | 2.3 | 2.5 | 2.9 | 1.9 | 2.1 | 2.3 | 2.5 | 3.0 |
| | 6H | 1.8 | 2.0 | 2.3 | 2.5 | 3.0 | 1.8 | 2.0 | 2.3 | 2.5 | 3.0 |
| | 8H | 1.8 | 2.0 | 2.3 | 2.5 | 3.0 | 1.8 | 2.0 | 2.3 | 2.5 | 3.0 |
| Variations with the observer position at spacing: | | | | | | | | | | | |
| S = | 1.0H | 3.6 / -3.7 | | | | | 3.6 / -3.7 | | | | |
| | 1.5H | 6.0 / -4.8 | | | | | 6.0 / -4.8 | | | | |
| | 2.0H | 8.0 / -5.4 | | | | | 8.0 / -5.4 | | | | |